

точки переходит в «быстрое», скачкообразное по соответствующей траектории $z = \text{const}$, приводящей изображающую точку вновь на один из участков F^+ . Во время этих скачков z , т. е. напряжение v на конденсаторе C , остается неизменным (при $\mu \rightarrow +0$), что дает условия скачка (10.39).

Разбиение фазовой поверхности на траектории «быстрых» движений обеспечивает, в отличие от условий скачка (10.39), однозначность соответствия начальных и концевых точек скачков во всех случаях, включая и те, когда линия F имеет больше, чем по одной точке максимума и минимума z . Именно, в соответствии с этим разбиением из точки максимума (минимума) z на кривой F скачок совершается по траектории $z = \text{const}$ вправо (влево) в ближайшую точку пересечения прямой $z = \text{const}$ с линией F .

Предельное (при $\mu \rightarrow +0$) разбиение фазовой поверхности Φ^* на траектории, к которому близко разбиение этой поверхности при $\mu \ll 1$, т. е. при $C_1 \ll C$, для случая самовозбуждающейся схемы приведено на рис. 552. Очевидно, при любых начальных условиях в схеме устанавливаются разрывные автоколебания, отображаемые на фазовой поверхности предельным циклом *абвга* (его проекции на плоскость x, y и являлся разрывный предельный цикл $B_2\gamma_1 \dashrightarrow B_2\gamma_1 \dashrightarrow B_2$).

Так, учитывая хотя бы одну из существенных паразитных емкостей, мы получили «добротаочественную» модель схемы Фрюгауфа, позволяющую полностью рассмотреть колебания схемы без каких-либо дополнительных гипотез и предположений.

§ 9. Мультивибратор с индуктивностью в анодной цепи

Мы уже видели, что задача рассмотрения автоколебательной системы значительно упрощается, если один из существенных колебательных параметров мал, вследствие чего движения системы распадаются на сравнительно простые «быстрые» и «медленные» движения. Первые из них описываются уравнениями (10.17) или соответствующим образом сформулированным постулатом скачка; вторые — уравнениями (10.16), составленными без учета паразитных параметров и имеющими поэтому пониженный порядок.

Мы перейдем теперь к рассмотрению более сложных систем с разрывными колебаниями, уравнения «медленных» движений которых имеют второй порядок. В качестве первого примера возьмем знакомую нам схему мультивибратора с одной RC -цепью, но с индуктивной анодной нагрузкой (рис. 553) (для некоторого упрощения задачи мы будем пренебрегать омическим сопротивлением анодной нагрузки).

1. Уравнения «медленных» движений. Пренебрегая всеми паразитными параметрами, сеточными токами и анодной реакцией, мы

получим на основании законов Кирхгофа следующие уравнения колебаний мультивибратора (в обозначениях рис. 553):

$$L \frac{di}{dt} = E_a - (u + v),$$

$$i = i_a(u) + \frac{u - E_g}{R},$$

$$C \frac{dv}{dt} = \frac{u - E_g}{R},$$

которые являются уравнениями второго порядка (соответственно состояния мультивибратора мы можем отображать точками на фазовой

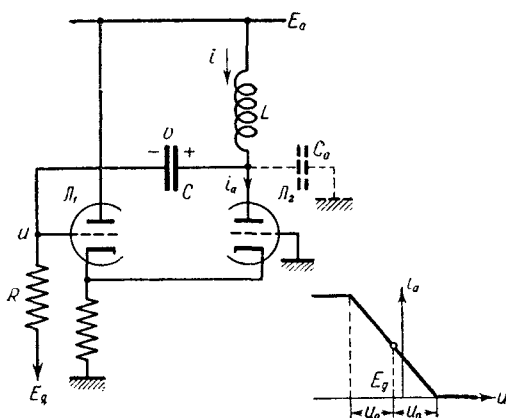


Рис. 553.

плоскости \$u, v\$). Схема, очевидно, имеет единственное состояние равновесия, в котором

$$u = E_g, \quad i_a = i_a^0 = i_a(E_g), \quad i = i_a^0, \quad v = v_0 = E_a - E_g.$$

Для упрощения рассмотрения колебаний мультивибратора мы аппроксимируем характеристику ламповой группы \$i_a = i_a(u)\$ кусочно-линейной функцией (рис. 553), причем будем считать, что сеточное смещение \$E_g\$ выбрано так, чтобы рабочая точка, соответствующая состоянию равновесия, лежала в середине падающего участка характеристики.

Введем новые безразмерные переменные \$x, y, z\$, пропорциональные переменным составляющим напряжений \$u\$ и \$v\$ и тока \$i\$:

$$x = \frac{u - E_g}{u_0}, \quad y = \beta \frac{v - v_0}{u_0}, \quad z = \frac{R}{u_0} (i - i_a^0),$$

где u_3 — половина «длины» падающего участка характеристики ламповой группы, новое безразмерное время

$$t_{\text{нов}} = \frac{t}{VLC},$$

а также безразмерную характеристику ламповой группы

$$\varphi(x) = \frac{1}{u_0 S} [i_a(E_g + u_0 x) - i_a(E_g)] = \begin{cases} +1 & \text{при } x < -1, \\ -x & \text{при } |x| \leq 1, \\ -1 & \text{при } x > +1, \end{cases}$$

где S — абсолютное значение крутизны характеристики на падающем участке. Тогда, выбрав $\beta = R \sqrt{\frac{C}{L}}$, мы приведем уравнения мультивибратора к следующей безразмерной форме:

$$\left. \begin{array}{l} \dot{z} = -2hx - y, \\ z = x + k\varphi(x), \\ \dot{y} = x, \end{array} \right\} \quad (10.41)$$

где

$$k = SR \quad \text{и} \quad h = \frac{\beta}{2} = \frac{R}{2} \sqrt{\frac{C}{L}},$$

или, исключая z ,

$$\left. \begin{array}{l} \dot{x} = -\frac{2hx + y}{1 + k\varphi'(x)}, \\ \dot{y} = x. \end{array} \right\} \quad (10.41a)$$

Фазовая плоскость x, y при кусочно-линейной характеристике ламповой группы $\varphi(x)$, очевидно, распадается на три области линейности: 1) $|x| < 1$; 2) $x > +1$ и 3) $x < -1$. Так как при $|x| < 1$ $\varphi'(x) = -1$, то в первой области, содержащей единственное состояние равновесия ($x = 0, y = 0$), уравнения (10.41a) записываются в виде линейной системы:

$$\begin{aligned} (1 - k)\dot{x} &= -2hx - y, \\ \dot{y} &= x \end{aligned}$$

с характеристическим уравнением

$$(1 - k)\lambda^2 + 2h\lambda + 1 = 0.$$

Поэтому состояние равновесия $(0,0)$ устойчиво при $k < 1$ и неустойчиво при $k > 1$.

Ниже мы будем рассматривать только последний случай $k > 1$ — случай самовозбуждающегося мультивибратора (нетрудно видеть, что при $k < 1$ все траектории идут при возрастании t к единственному и устойчивому состоянию равновесия, т. е. в этом случае нет никаких автоколебаний).

Рассмотрим ход фазовых траекторий системы уравнений (10.41а) вблизи прямых $x = \pm 1$, являющихся границами областей линейности. Так как при переходе через эти прямые выражение $1 + k\varphi'(x)$ изменяет знак (поскольку $k > 1$), то точки этих прямых или, точнее, точки полупрямых $x = +1, y > -1$ и $x = -1, y < +1$ являются точками стыка фазовых траекторий. Эти точки не являются состояниями равновесия, но к ним фазовые траектории подходят с обеих сторон.

Таким образом, пренебрегая паразитными параметрами, мы получили «дефектную» модель мультивибратора — модель, не позволяющую провести рассмотрение колебаний мультивибратора: уравнения (10.41а) «заводят» систему в такие состояния на прямых $x = \pm 1$, которые не являются состояниями равновесия и из которых, с другой стороны, нет выходящих фазовых траекторий. Поэтому для получения «добротивесенной» модели мультивибратора нам необходимо или дополнить уравнения (10.41а) соответствующим постулатом скачка или же учесть существенные паразитные параметры схемы.

В задаче о колебаниях судна, управляемого двухпозиционным авторулевым (гл. VIII, § 6), мы также получили на фазовой плоскости линию стыка фазовых траекторий и затем доопределили систему дифференциальных уравнений движения системы так, чтобы стало возможным движение изображающей точки и вдоль этой линии; это движение изображающей точки соответствовало наблюдаемому на практике так называемому «скользящему» режиму работы двухпозиционного авторулевого.

В рассматриваемой задаче о мультивибраторе такое доопределение движения изображающей точки вдоль полуправых $x = +1, y > -1$ и $x = -1, y < +1$ ничего, кроме ухода в бесконечность, дать не может, т. е. также не приводит к результатам, хотя бы качественно согласующимся с экспериментальными данными.

Заметим также, что точно такая же «дефектная» модель (с линиями стыка фазовых траекторий) получается и для мультивибратора с анодной нагрузкой, состоящей из сопротивления R_a и индуктивности L . Поэтому учет в мультивибраторе с одним RC -звеном (§ 4 настоящей главы) паразитной индуктивности анодной цепи не приведет к построению «добротивесенной» модели мультивибратора.

2. Уравнения мультивибратора при учете паразитной емкости C_a . Составим уравнения колебаний мультивибратора, учитывая малую паразитную емкость анодного узла C_a (ее учета, как мы сейчас увидим, будет достаточно для построения «добротивесенной» модели мультивибратора). На основании законов Кирхгофа имеем:

$$L \frac{di}{dt} = E_a - (u + v),$$

$$i = i_a(u) + C \frac{dv}{dt} + C_a \frac{d(u + v)}{dt},$$

$$C \frac{dv}{dt} = \frac{u - E_g}{R},$$

или в переменных $x, y, z, t_{\text{нов}}$, пренебрегая малой емкостью C_a в выражении $C + C_a$:

$$\left. \begin{array}{l} \mu \dot{x} = z - x - k\varphi(x) \equiv F(x, z), \\ \dot{y} = x, \\ \dot{z} = -2hx - y, \end{array} \right\} \quad (10.42)$$

где $\mu = \frac{RC_a}{VLC}$ — малый положительный параметр, характеризующий малость паразитной емкости C_a (остальные обозначения те же, что и в (10.41)).

Полагая $\mu = 0$, т. е. пренебрегая малой паразитной емкостью C_a , мы получим снова уравнения (10.41) или (10.41а) — уравнения «медленных» движений системы, которые, однако, справедливы не на всей фазовой поверхности F «вырожденной» системы (с $C_a = 0$):

$$F(x, z) = 0 \quad \text{или} \quad z = x + k\varphi(x),$$

а только на той ее части F^+ , на которой выполняется условие несущественности малой паразитной емкости C_a :

$$F'_x = -1 - k\varphi'(x) < 0,$$

т. е. только при $|x| > 1^1)$.

Вне малой окрестности поверхности F^+ происходят «быстрые» движения изображающей точки (там при $\mu \rightarrow \pm 0$ $\dot{x} \rightarrow \infty$, т. е. x изменяется скачком). При этом траектории «быстрых» движений при малых μ близки к прямым $y = \text{const}, z = \text{const}$ и идут в сторону увеличения x над поверхностью F (при $z > x + k\varphi(x)$ и при $\mu \rightarrow + 0$ $\dot{x} \rightarrow + \infty$) и в сторону уменьшения x под ней (при $z < x + k\varphi(x)$). Предельное (для $\mu \rightarrow \mp 0$) разбиение фазового пространства x, y, z на траектории системы (10.42), к которому близко разбиение на траектории при достаточно малых μ , качественно изображено на рис. 554; в частности, там изображен предельный цикл, который, как мы увидим ниже, действительно существует при $\mu \rightarrow \mp 0$.

Таким образом, рассматривая модель мультивибратора, полученную при учете малой паразитной емкости C_a , мы приходим к следующим выводам относительно характера колебаний схемы (при $C_a \rightarrow + 0$):

¹⁾ Мы рассматриваем случай $k > 1$; тогда при $|x| < 1$ $F'_x = k - 1 > 0$. Если же $k < 1$, то условие несущественности малой паразитной емкости C_a выполняется на всей поверхности $F = 0$; соответственно на фазовой плоскости x, y модели мультивибратора без емкости C_a нет линий стыка фазовых траекторий.

Заметим, что фазовая поверхность F «вырожденной» модели и плоскость x, y гомеоморфны друг другу (их точки соответствуют друг другу взаимно однозначно и непрерывно). Поэтому мы можем отображать «медленные» движения системы движением изображающей точки не по поверхности F^+ , а по плоскости x, y ($|x| > 1$).

1) Схема совершают разрывные колебания, так как все траектории «быстрых» движений идут к поверхности F^+ и переходят, следовательно, в траектории «медленных» движений, которые в свою очередь переходят снова в траектории «быстрых» движений на границах поверхности F^+ , т. е.

при $x = \pm 1$.

2) «Медленные» движения изображающей точки имеют место только на поверхности F^+ :

$$z = x + k\varphi(x), \quad |x| > 1;$$

только при $|x| > 1$ уравнения (10.41) или (10.41a) отображают законы колебаний схемы¹⁾.

3) Во время «быстрых» движений (скакков) изображающей точки переменное x (или напряжение u на сетке лампы L_1) изменяется мгновенно, а переменные y и z (т. е. напряжение v на конденсаторе C и сила тока i в анодной нагрузке) остаются неизменными²⁾.

3. Разрывные колебания схемы. Проведем детальное рассмотрение разрывных колебаний схемы, опираясь на только что сформулированные особенности колебаний схемы, и, в частности, докажем существование автоколебаний.

Как уже указывалось выше, «медленные» движения системы имеют место только при $|x| > 1$, поэтому они описываются линейными уравнениями:

$$\begin{cases} \dot{x} = -2hx - y, \\ \dot{y} = x, \end{cases} \quad (10.41b)$$

поскольку $\varphi'(x) = 0$ при $|x| > 1$. Так как характеристическое уравнение для системы (10.41b) записывается в виде:

$$\lambda^2 + 2h\lambda + 1 = 0, \quad (10.43)$$

то характер поведения схемы во время «медленных» изменений состояния зависит только от величины параметра $h = \frac{R}{2} \sqrt{\frac{C}{L}}$. Именно,

¹⁾ Наоборот, фазовые траектории «быстрых» движений отходят от участка F^- ($|x| < 1$) фазовой поверхности F «вырожденной» модели, поэтому там нет никаких «медленных» движений и уравнения (10.41) не справедливы.

²⁾ Условия неизменности напряжения v и силы тока i при скачке состояния системы вытекают из дополнительного предположения об ограниченности напряжений и токов в схеме.

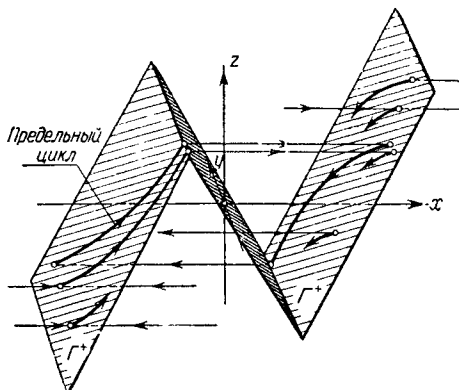


Рис. 554.

если $h > 1$, т. е. если $L < \frac{1}{4} CR^2$, то оба корня характеристического уравнения (10.43) будут действительными и отрицательными, и система будет себя вести как апериодическая. Ее фазовые траектории вне заштрихованной полосы $|x| < 1$, для которой уравнения (10.41б) не справедливы, будут иметь вид такой же, как и в случае линейного осциллятора,

особая точка которого является устойчивым узлом (рис. 555)¹). Если же

$h < 1$ (или, иначе, $L > \frac{1}{4} CR^2$),

то система будет вести себя (во время «медленного» движения) как линейная колебательная система с особой точкой типа устойчивого фокуса в начале координат и фазовые траектории вне заштрихованной полосы $|x| < 1$ будут иметь вид кусков спиралей (рис. 556). И в том, и в другом случае изоклиной вертикальных касательных является прямая $y = -2hx$, а изоклиной горизонтальных касательных — ось $x = 0$ (последняя, однако, лежит вне области применимости уравнений (10.41б)).

Стрелками на фазовых траекториях (рис. 555 и 556) указано направление движения изображающей точки, определенное по тому, каков знак \dot{x} или \dot{y} в той или иной области.

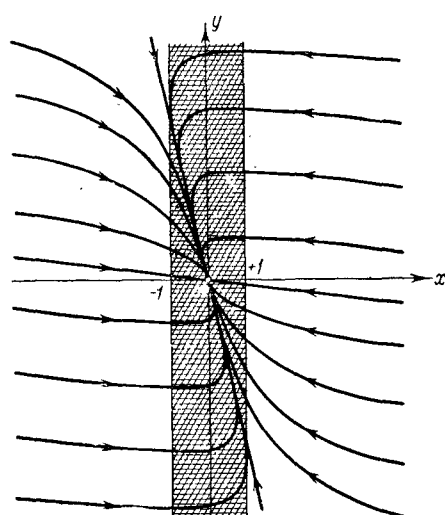
Рис. 555.

Заметим, что представляющая точка движется по фазовым траекториям уравнений (10.41б) не в направлении вращения часовой стрелки, как обычно, а против этого направления, потому что y не есть просто \dot{x} , а связано с x и \dot{x} уравнением

$$y = -\dot{x} - 2hx.$$

Нетрудно видеть, что независимо от значения параметра h фазовые траектории «медленных» движений выходят на прямые $x = \pm 1$, откуда изображающая точка уходит скачком по соответствующей траектории «быстрого» движения: $y = \text{const}$ (и $z = \text{const}$). Место, куда придет изображающая точка в результате скачка, определяется

¹⁾ Мы будем отображать колебания схемы движением изображающей точки не в трехмерном фазовом пространстве x, y, z , а по плоскости x, y . Ясно, что при таком рассмотрении фазовые траектории «медленных» и «быстрых» движений на плоскости x, y , являющиеся проекциями фазовых траекторий в пространстве x, y, z , могут пересекаться между собой,



условиями неизменности при скачке переменных y и z . Поскольку концевая точка скачка (в пространстве x , y , z) лежит снова на

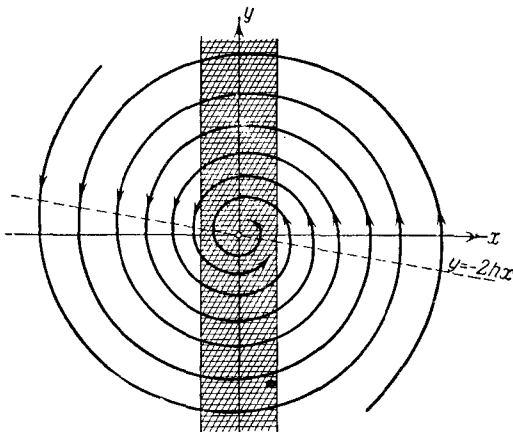


Рис. 556.

поверхности $z = x + k\varphi(x)$, ее координаты (x_2, y_2) связаны с координатами начальной точки скачка (x_1, y_1) , где $x_1 = \pm 1$, уравнениями

$$\begin{aligned} y_2 &= y_1, \\ x_2 + k\varphi(x_2) &= x_1 + k\varphi(x_1) \end{aligned}$$

и определяются этими уравнениями однозначно, а именно:

$$\left. \begin{aligned} y_2 &= y_1, \\ x_2 &= -(2k-1)x_1. \end{aligned} \right\} \quad (10.44)$$

Следовательно, с прямой $x = \pm 1$ изображающая точка перескакивает по траектории скачка $y = \text{const}$ в точку прямой $x = -(2k-1)$, и наоборот, с прямой $x = -1$ — на прямую $x = 2k-1$. После скачка изображающая точка движется дальше снова по фазовой траектории «медленного» движения, пока снова не придет на прямую $x = \pm 1$, и т. д. Таким путем из кусков фазовых траекторий «медленных» движений и скачков составляются фазовые траектории (точнее, положительные полуграфики) мультивибратора, отображающие его разрывные колебания (рис. 557 и 558). Покажем, что эти траектории асимптотически приближаются (при $t \rightarrow +\infty$) к устойчивому предельному циклу.

Мы начнем наше рассмотрение со случая достаточно большой индуктивности L ($L > \frac{1}{4} CR^2$, т. е. $h < 1$). Для этого случая мы получаем разбиение плоскости x , y на траектории, изображенное на

рис. 557 (траектории состоят из дуг спиралей «медленных» движений и из отрезков прямолинейных фазовых траекторий скачков:

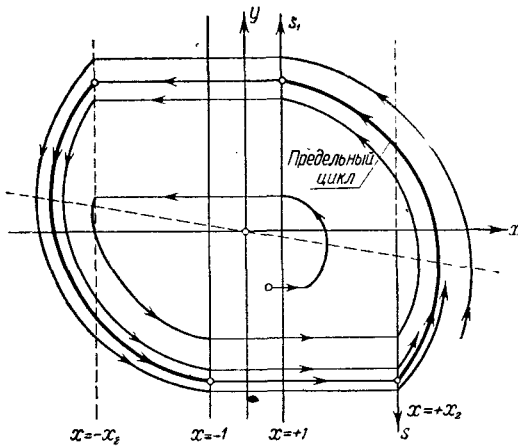


Рис. 557.

$y = \text{const}$). Это разбиение симметрично относительно начала координат, так как и уравнения «медленных» движений (10.41б), и условия скачка (10.44) инвариантны относительно замены переменных x, y на $-x, -y$. Поэтому для рассмотрения колебаний схемы (и, в частности, для доказательства существования и устойчивости предельного цикла) нам достаточно исследовать преобразование $s_1 = f(s)$ точек

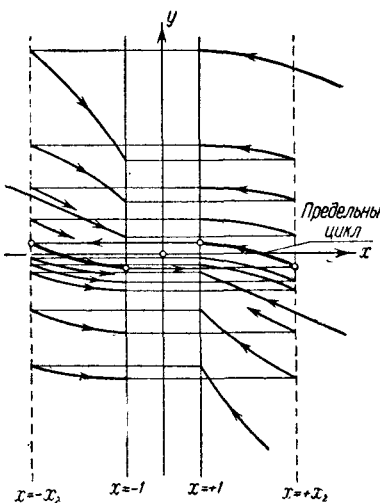


Рис. 558.

выходящую при $t = 0$ из точки $(x_2, -s)$:

$$x = e^{-ht} \left[x_2 \cos \omega t - \frac{hx_2 - s}{\omega} \sin \omega t \right],$$

$$y = e^{-ht} \left[-s \cos \omega t + \frac{x_2 - hs}{\omega} \sin \omega t \right],$$

Рассмотрим фазовую траекторию системы уравнений (10.41б),

входящую при $t = 0$ из точки $(x_2, -s)$:

где $\omega = \sqrt{1 - h^2}$ (при $h < 1$ характеристическое уравнение (10.43) имеет комплексно сопряженные корни $\lambda_{1,2} = -h \pm j\omega$). Пусть при $t = \frac{\tau}{\omega}$ изображающая точка, двигаясь по этой траектории, придет на прямую $x = +1$ в точке $y = s_1$ (очевидно, $0 < \tau < \pi$). Тогда

$$1 = e^{-\gamma\tau} \left[x_2 \cos \tau + \left(\frac{s}{\omega} - \gamma x_2 \right) \sin \tau \right],$$

$$s_1 = e^{-\gamma\tau} \left[-s \cos \tau + \left(\frac{x_2}{\omega} - \gamma s \right) \sin \tau \right],$$

где $\gamma = \frac{h}{\omega} = \frac{h}{\sqrt{1 - h^2}}$. Разрешая эти соотношения относительно s и s_1 , мы получим следующие параметрические выражения для функции соответствия $s_1 = f(s)$:

$$\begin{aligned} s &= \omega \frac{e^{\gamma\tau} - x_2(\cos \tau - \gamma \sin \tau)}{\sin \tau}, \\ s_1 &= \omega \frac{x_2 e^{-\gamma\tau} - (\cos \tau + \gamma \sin \tau)}{\sin \tau}. \end{aligned} \quad (10.45)$$

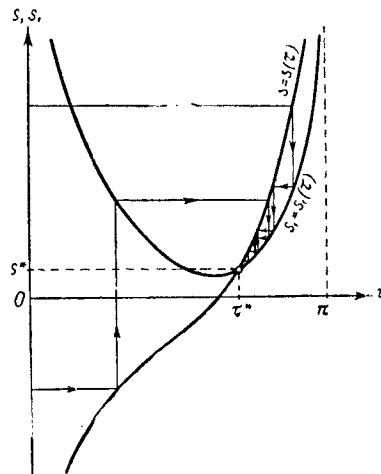


Рис. 559.

Графики полученных непрерывных (при $0 < \tau < \pi$) функций качественно изображены на рис. 559. Так как при $\tau \rightarrow +0$ $s \rightarrow -\infty$,

$s_1 \rightarrow +\infty$, а при $\tau \rightarrow \pi - 0$ $s \rightarrow +\infty$, $s_1 \rightarrow +\infty$, причем $s_1 < s$, то существует (по крайней мере одна) точка пересечения этих кривых — неподвижная точка s^* рассматриваемого точечного преобразования. Значение параметра τ для нее ($\tau = \tau^*$), очевидно, определяется уравнением

$$e^{\gamma\tau} - x_2(\cos \tau - \gamma \sin \tau) = x_2 e^{-\gamma\tau} - (\cos \tau + \gamma \sin \tau)$$

или

$$e^{\gamma\tau} + \cos \tau + \gamma \sin \tau = x_2 [e^{-\gamma\tau} + \cos \tau - \gamma \sin \tau] \quad (10.46)$$

и притом, как нетрудно видеть, единственным образом. Итак, точечное преобразование $s_1 = f(s)$ имеет единственную неподвижную точку s^* , а на плоскости x, y имеется единственный предельный цикл. Этот предельный цикл устойчив, так как в неподвижной точке

$$\left| \frac{ds_1}{ds} \right| < 1.$$

Таким образом, мы убеждаемся, что в рассматриваемой схеме устанавливаются и будут происходить разрывные автоколебания. Форма этих колебаний, вообще говоря, будет заметно отличаться от синусоидальной, так как x (т. е. напряжение на сетке лампы L_1),

а вместе с ним и напряжение на аноде лампы L_2 в некоторых областях изменяются скачкообразно.

Период автоколебаний в силу симметрии разбиения на траектории плоскости x, y , очевидно, равен $2 \frac{\tau^*}{\omega}$ в единицах безразмерного времени, или

$$T = \frac{2}{\sqrt{1-h^2}} \tau^* \quad (10.47)$$

в обычных единицах (как и раньше, мы пренебрегаем при подсчете периода автоколебаний длительностью «быстрых» движений — скачков). Ясно, что $T' = \frac{2\pi \sqrt{LC}}{\sqrt{1-h^2}}$ — «условного периода» затухающих колебаний осциллятора, описываемого всюду уравнениями (10.41б), так как из-за наличия мгновенных скачков изображающая точка делает оборот быстрее, чем изображающая точка такого осциллятора (именно из-за этого $\tau^* < \pi$).

Подсчитаем период и амплитуду автоколебаний для случая очень больших L ($L \gg \frac{1}{4} CR^2$), когда $h \ll 1$ (и $\gamma \ll 1$). Полагая в (10.46) $\gamma = 0$, мы получим нулевое приближение для τ^* :

$$\tau^* = \pi,$$

и период автоколебаний T при достаточно больших L близок к периоду колебаний LC -контура без сопротивления — к $T_0 = 2\pi \sqrt{LC}$. Для определения поправки на период при малых γ введем

$$a = \pi - \tau^*.$$

Тогда, подставляя $\tau^* = \pi - a$ в (10.46), мы получим для a уравнение

$$e^{\gamma(\pi-a)} - \cos a + \gamma \sin a = x_2 [e^{-\gamma(\pi-a)} - \cos a - \gamma \sin a] \quad (10.46a)$$

или, разлагая функции, входящие в уравнение, в степенные ряды:

$$\begin{aligned} \gamma\pi + \frac{\gamma^2(\pi-a)^2}{2} + \dots + \frac{a^2}{2} + \frac{a^4}{4!} + \dots - \gamma \frac{a^3}{3!} + \dots &= \\ = x_2 \left[-\gamma\pi + \frac{\gamma^2(\pi-a)^2}{2} + \dots + \frac{a^2}{2} - \frac{a^4}{4!} + \dots + \gamma \frac{a^3}{3!} - \dots \right] & \end{aligned} \quad (10.46b)$$

Отсюда следует, что a имеет порядок величины $\gamma^{1/2}$ и поэтому определяется соотношением

$$\gamma\pi + \frac{a^2}{2} = x_2 \left(-\gamma\pi + \frac{a^2}{2} \right) + O(\gamma^2),$$

т. е.

$$a = \sqrt{\frac{2\pi k}{k-1}} \gamma^{\frac{1}{2}} + O(\gamma^{\frac{3}{2}})^{-1}. \quad (10.47a)$$

Таким образом, при $L \gg \frac{1}{4} CR^2$ т. е. при $h = \frac{R}{2} \sqrt{\frac{C}{L}} \ll 1$

$$T = 2\pi \sqrt{LC} \left\{ 1 - \sqrt{\frac{2k}{\pi(k-1)}} h^{\frac{1}{2}} + O(h^{\frac{3}{2}}) \right\}. \quad (10.47b)$$

Как видим, поправка на период имеет порядок величины $h^{1/2}$ и поэтому сравнительно велика (для сравнения напомним, что в обычном ламповом генераторе поправка на период является величиной порядка h^3).

Подставляя (10.47a) в (10.45), получим для \bar{s} , т. е. для амплитуды автоколебаний переменного y :

$$\bar{s} = \frac{2k + O(\gamma)}{\sin a} = \sqrt{\frac{2k(k-1)}{\pi h}} + O(h^{\frac{1}{2}}).$$

Так как при малых h фазовые траектории «медленных» движений близки к окружностям $x^2 + y^2 = \text{const}$, то приближенно такой же будет и амплитуда автоколебаний переменного x . Переходя от безразмерных переменных к размерным, мы получим для амплитуд автоколебаний напряжений u (на сетке лампы L_1) и v (на конденсаторе C) следующие выражения:

$$U_0 = u_0 \bar{s} = u_0 \sqrt{\frac{2k(k-1)}{\pi}} h^{-\frac{1}{2}} + O(h^{\frac{1}{2}}),$$

$$V_0 = u_0 \frac{\bar{s}}{2h} = u_0 \sqrt{\frac{k(k-1)}{2\pi}} h^{-\frac{3}{2}} + O(h^{-\frac{1}{2}}).$$

¹⁾ Нетрудно получить и следующий член в асимптотическом разложении поправки на период. Положив в (10.46b) $a = a_0 \gamma^{1/2} + a_1$, где $a_1 = O(\gamma^{3/2})$ и $a_0 = \sqrt{\frac{2\pi k}{k-1}}$, мы получим уравнение, определяющее следующий член асимптотического разложения:

$$\frac{\gamma^2 \pi^2}{2} + a_0 \gamma^{\frac{1}{2}} a_1 - \frac{a_0^4 \gamma^2}{4!} = x_2 \left[\frac{\gamma^2 \pi^2}{2} + a_0 \gamma^{\frac{1}{2}} a_1 - \frac{a_0^4 \gamma^2}{4!} \right] + O(\gamma^{\frac{5}{2}}),$$

т. е.

$$a_1 = \left(\frac{a_0^3}{4!} - \frac{\pi^2}{2a_0} \right) \gamma^{\frac{3}{2}} + O(\gamma^2)$$

и, следовательно,

$$a = \sqrt{\frac{2\pi k}{k-1}} \left\{ \gamma^{\frac{1}{2}} + \left[\frac{1}{12} \frac{\pi k}{k-1} - \frac{\pi}{4} \frac{k-1}{k} \right] \gamma^{\frac{3}{2}} \right\} + O(\gamma^2).$$

Так как при малых h $V_0 \gg U_0$, то амплитуда колебаний напряжения $u + v$ на аноде лампы L_2 , очевидно, приближенно равняется V_0 . Все эти амплитуды возрастают при увеличении L (или, что то же самое, при уменьшении $h = \frac{R}{2} \sqrt{\frac{C}{L}}$)¹⁾.

Перейдем теперь к рассмотрению случая *малых* L или, иначе, случая, когда $h > 1$. В этом случае корни характеристического уравнения (10.43) действительны и отрицательны, и система ведет себя во время «медленных» движений как линейная, имеющая в начале координат особую точку типа узла (рис. 555). В частности, в области «медленных» движений, т. е. при $|x| > 1$, имеются две прямолинейные фазовые траектории (их угловые коэффициенты являются величинами, обратными корням λ_1 и λ_2 характеристического уравнения (10.43)). Разбиение плоскости x, u на траектории для случая малых L было приведено на рис. 558 (траектории движения изображающей точки состоят из кусков фазовых траекторий «медленных» движений и из кусков траекторий «быстрых» движений — скачков; $y = \text{const}$).

Подробное рассмотрение показывает, что и в этом случае существует устойчивое периодическое движение, состоящее из двух движений с конечной скоростью и двух скачков и устанавливающееся при любых начальных условиях (это утверждение может быть доказано, например, путем построения и исследования соответствующего точечного преобразования). Эти движения представляющей точки по предельному циклу и отображают разрывные автоколебания в мультивибраторе. Амплитуда этих колебаний может быть определена сразу; именно, изменения переменного x происходят в пределах от x_2 до $-x_2$, т. е. амплитуда автоколебаний переменного x равна $x_2 = 2k - 1$ (тогда амплитуда колебаний напряжения u на сетке лампы L_1 $U_0 = (2k - 1)u_0$). Что же касается периода автоколебаний, то его можно определить, взяв интеграл по t вдоль участков предельного цикла, по которым происходит «медленное» движение изображающей точки.

Однако задача вычисления периода весьма упрощается в том случае, когда L очень мало ($L \ll \frac{1}{4} CR^2$, но, конечно, по-прежнему $L \gg \frac{R^2 C_a^2}{C}$ и $\mu \ll 1$). Тогда $h \gg 1$ и фазовые траектории в области «медленного» движения (но вне некоторой малой окрестности прямой $y = -2hx$) близки к горизонтальным прямым²⁾. Соответственно

¹⁾ Так как амплитуда колебаний напряжения на аноде лампы L_2 возрастает при увеличении индуктивности L (как $L^{3/4}$), то наша теория мультивибратора, развитая при пренебрежении анодной реакцией, очевидно, перестает быть справедливой при достаточно больших L .

²⁾ $\frac{dy}{dx} = -\frac{x}{2hx + y} \approx -\frac{1}{2h} \approx -0$ вне малой окрестности прямой $y = -2hx$. Поэтому, в частности, амплитуда автоколебаний переменного y будет

пределный цикл будет близок к оси $y = 0$; поэтому во время «медленного» движения изображающей точки по предельному циклу $\dot{x} \approx -2hx$ или $\frac{dx}{dt} = -\frac{R}{L}x$ (t — обычное время) и, следовательно, $dt = -\frac{L}{R} \frac{dx}{x}$. Интегрируя правую часть этого уравнения в пределах от x_2 до 1, мы получим длительность полупериода автоколебаний:

$$\frac{T}{2} = -\frac{L}{R} \int_{x_2}^1 \frac{dx}{x} = \frac{L}{R} \ln x_2,$$

т. е. период автоколебаний равен:

$$T = \frac{L}{R} \ln (2k - 1). \quad (10.47в)$$

Интересно, что в рассмотренном случае емкость C не влияет заметно на величину периода; это объясняется тем, что при малых L мы получаем сравнительно высокочастотные разрывные автоколебания, во время которых емкость C почти не успевает перезаряжаться (амплитуда колебаний напряжения на этой емкости, как мы видели, равна $V_0 = \frac{(k-1)L}{RC^2} u_0 \ll u_0$).

Мы подробно рассмотрели два предельных случая больших и малых индуктивностей L и получили ответы на все вопросы, которые обычно возникают при исследовании автоколебательных процессов. Именно, мы выяснили вопросы об амплитуде, периоде и форме автоколебаний и характере их установления. Мы ограничились случаями больших и малых L только ради простоты изложения, вообще же можно исследовать все эти вопросы и при других, промежуточных значениях L . На рис. 560 приведены фотографии картины на плоскости u , $u + v$, полученные для рассматриваемой схемы с помощью катодного осциллографа (на отклоняющие пластины осциллографической трубки подавались напряжения на сетке лампы L_1 и на аноде L_2)¹⁾.

¹⁾ В рассматриваемом случае $h \gg 1$ приближенно равна $\frac{1}{2} \frac{x_2 - 1}{2h} = \frac{k-1}{2h}$, а амплитуда колебаний напряжения v на конденсаторе C

$$V_0 \approx \frac{u_0}{2h} \frac{k-1}{2h} = \frac{(k-1)L}{CR^2} u_0.$$

¹⁾ О получении картины на фазовой плоскости при помощи катодного осциллографа см. Дополнение II.

Фотографии расположены в порядке уменьшения L . Характер периодического процесса, изображенного на этих фотографиях, в общем

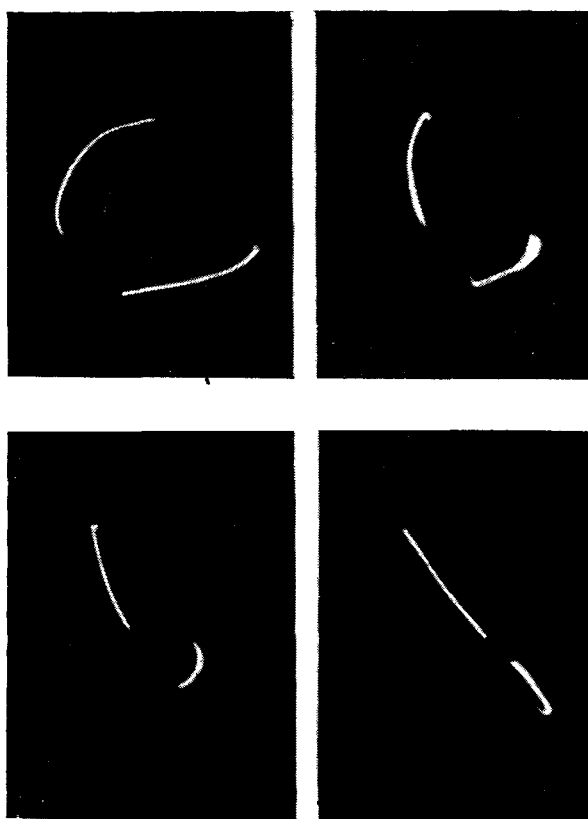


Рис. 560.

совпадает с той картиной, которую мы получили при теоретическом рассмотрении.

§ 10. «Универсальная» схема

Рассмотренные выше (в этой главе) системы могут совершать только разрывные автоколебания. Существуют, однако, такие системы, в которых возможны как непрерывные, так и разрывные автоколебания, переходящие друг в друга при изменениях того или иного параметра системы (при переходе этого параметра через некоторое критическое, бифуркационное значение). Такова, например, так называемая «универсальная» схема [125], приведенная на рис. 561 (характер